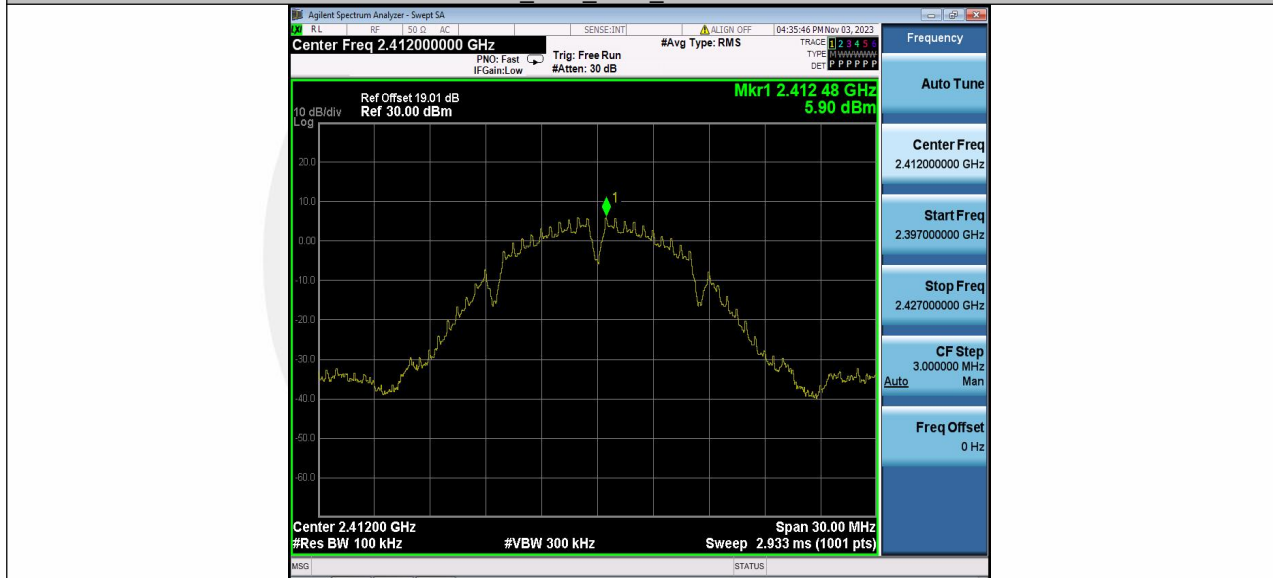


Conducted Spurious Emission

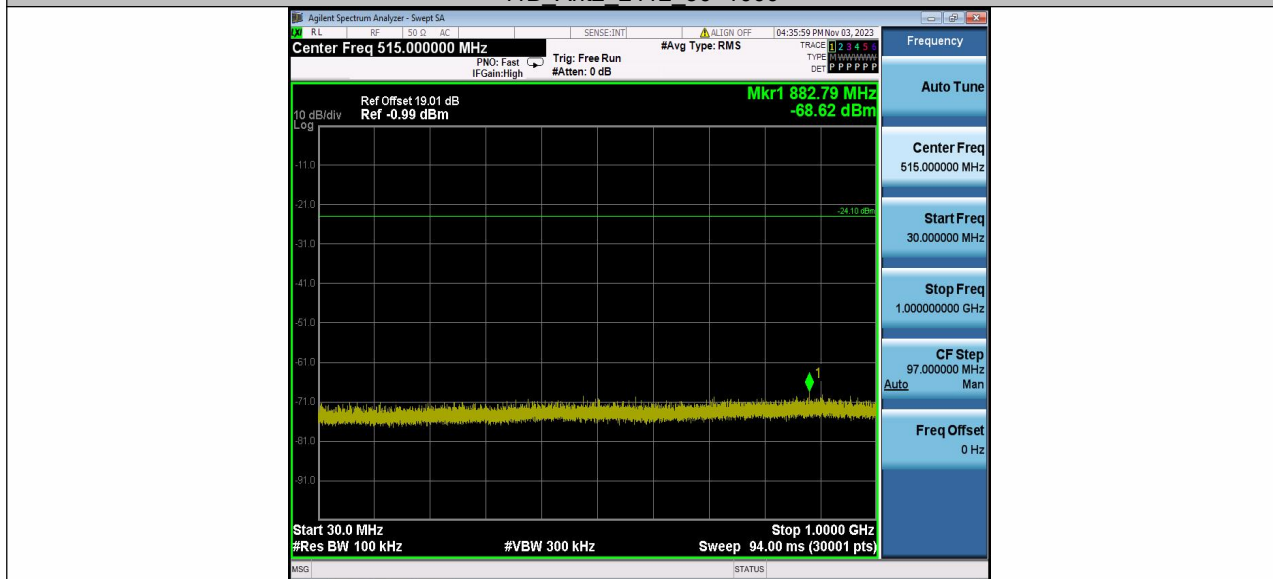




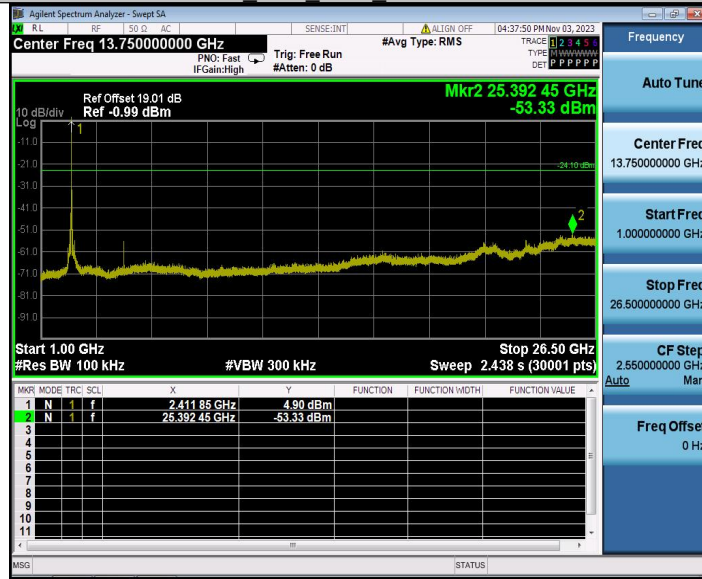
11B_Ant2_2412_0~Reference



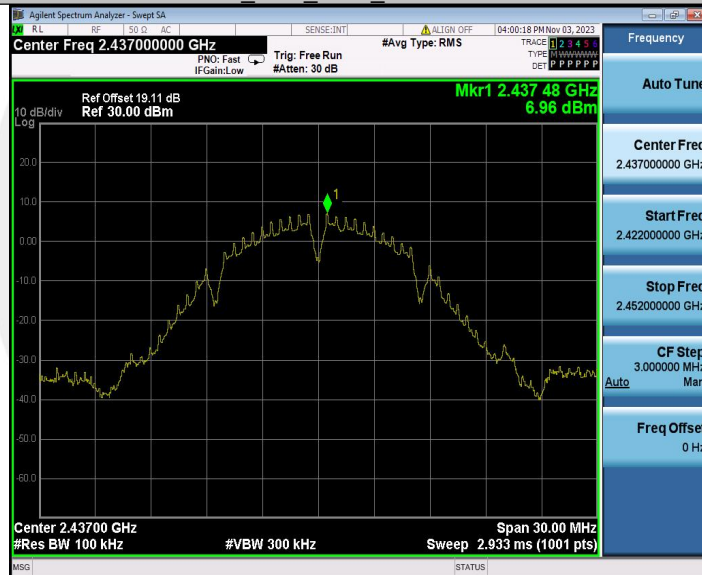
11B_Ant2_2412_30~1000



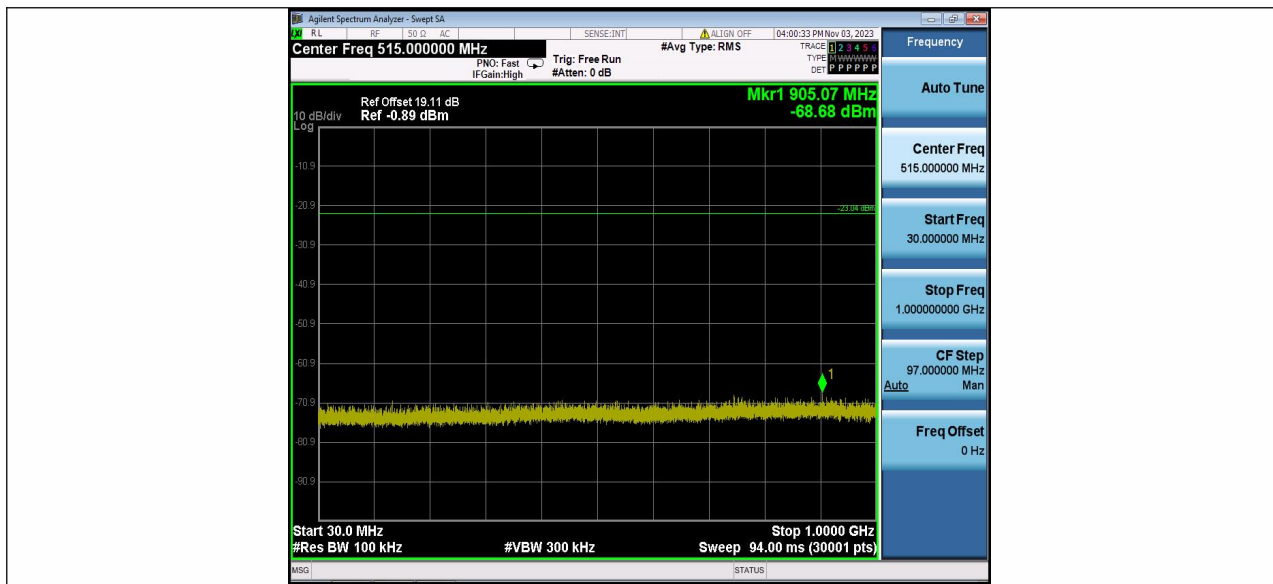
11B Ant2 2412 1000~26500



11B Ant1 2437 0~Reference



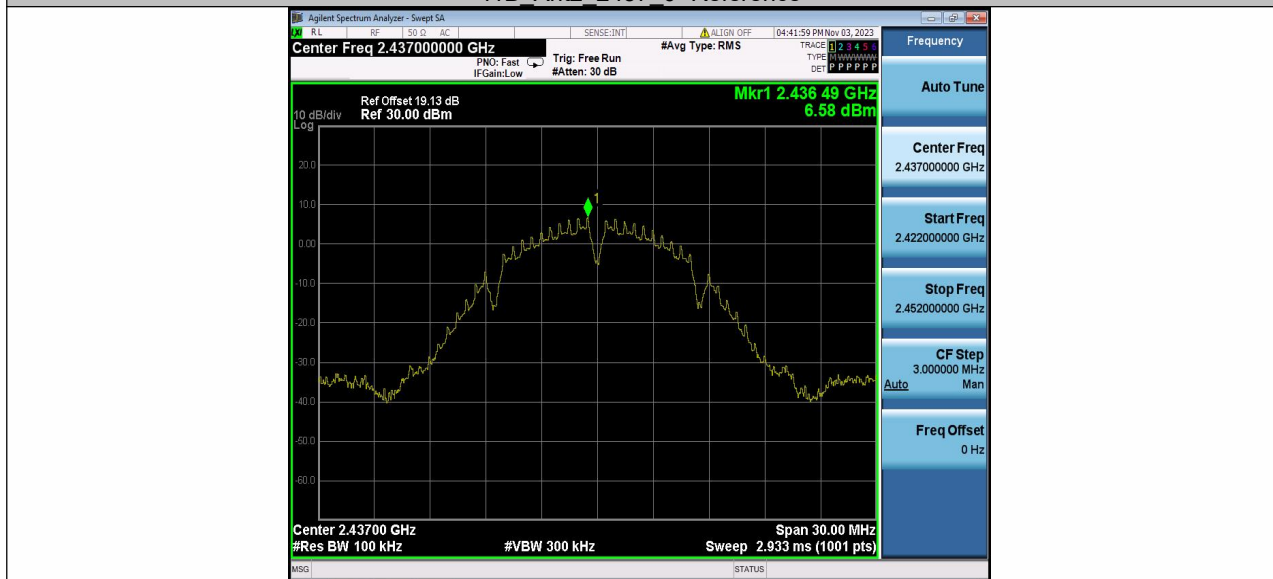
11B Ant1 2437 30~1000



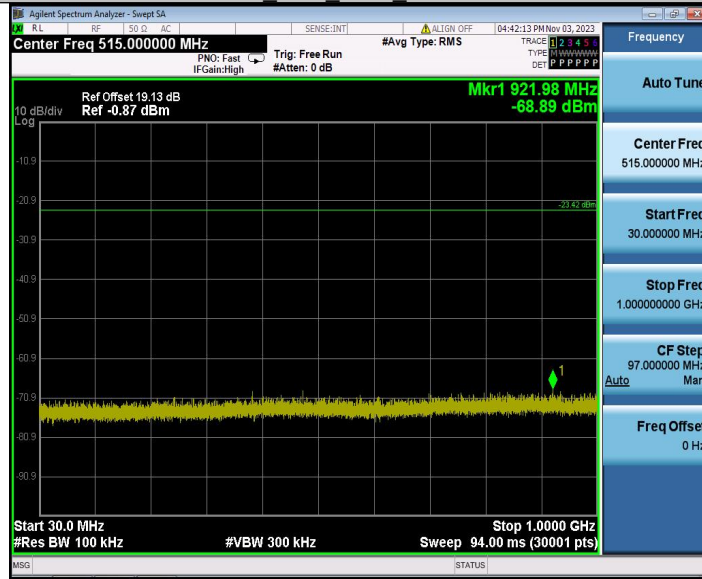
11B Ant1 2437 1000~26500



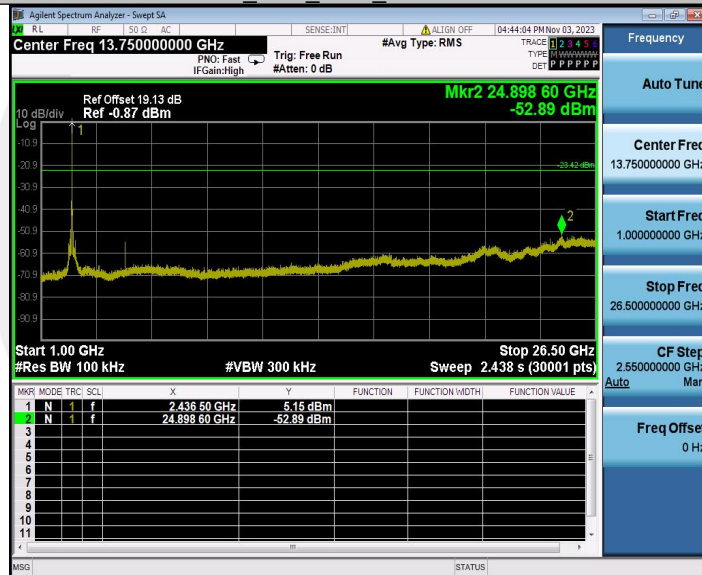
11B Ant2 2437 0~Reference



11B_Ant2_2437_30~1000



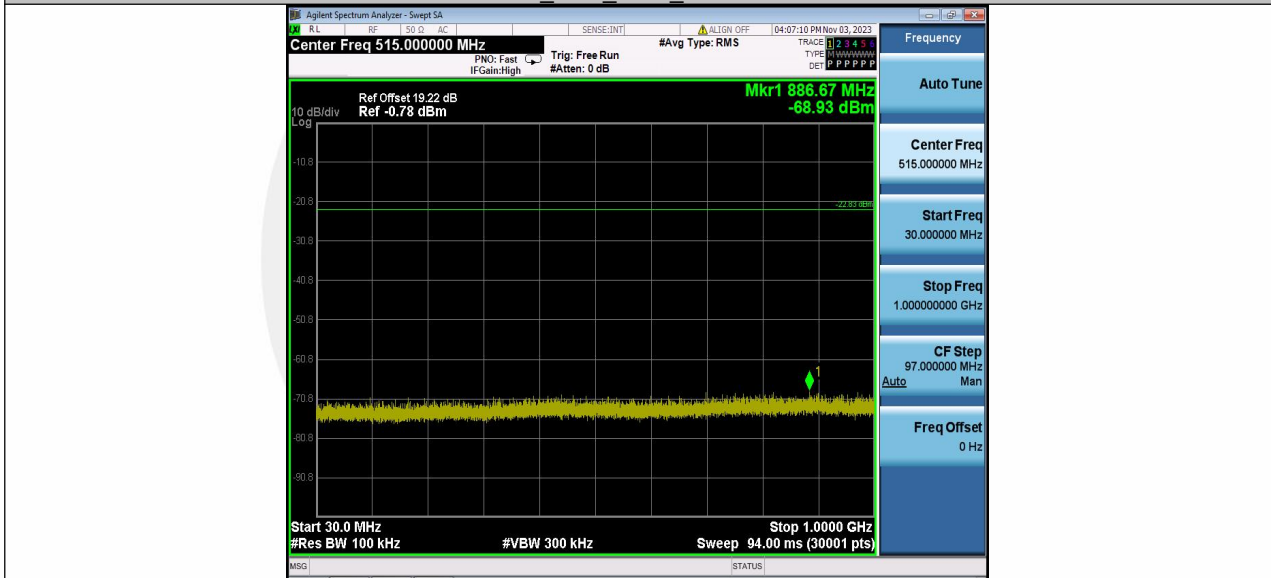
11B_Ant2_2437_1000~26500



11B_Ant1_2462_0~Reference



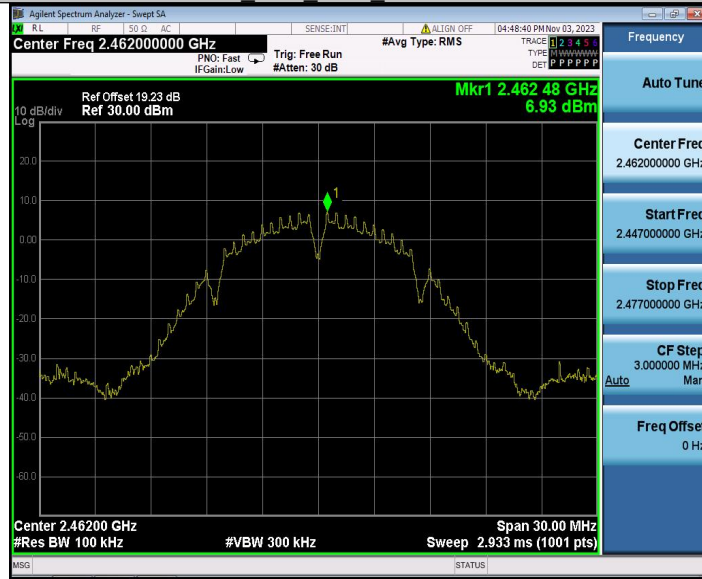
11B Ant1 2462 30~1000



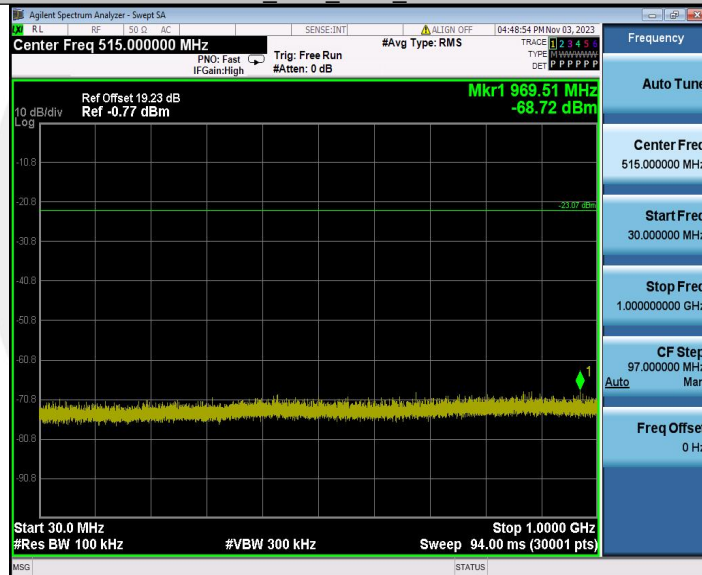
11B Ant1 2462 1000~26500



11B_Ant2_2462_0~Reference



11B_Ant2_2462_30~1000



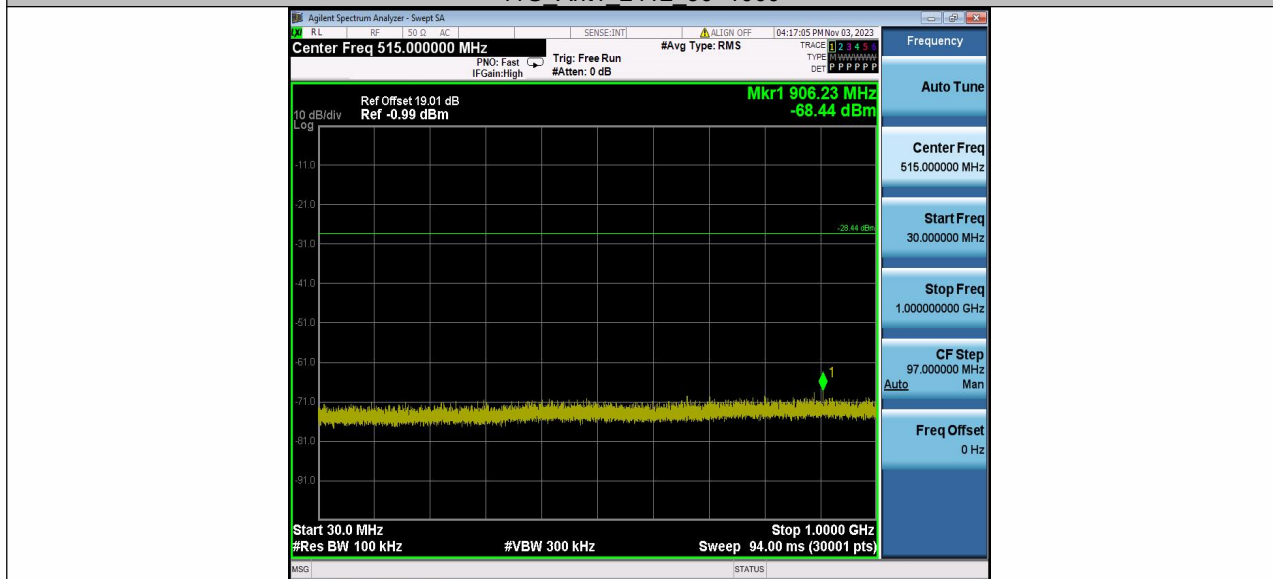
11B_Ant2_2462_1000~26500



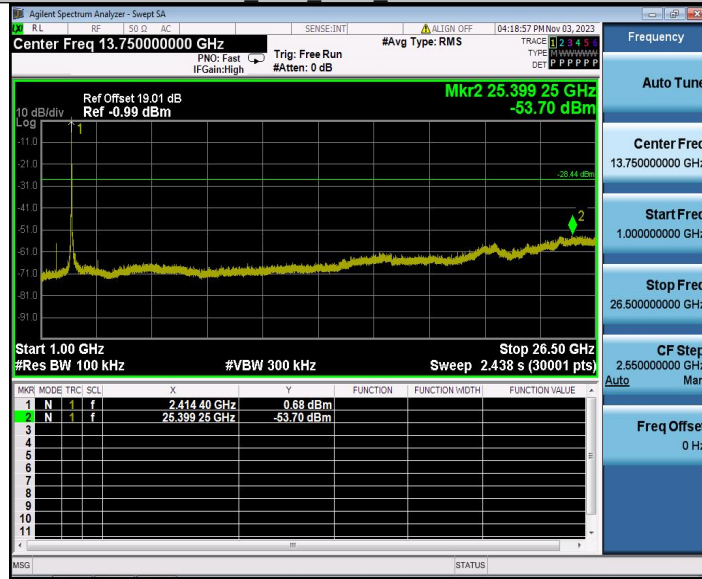
11G Ant1 2412 0~Reference



11G Ant1 2412 30~1000



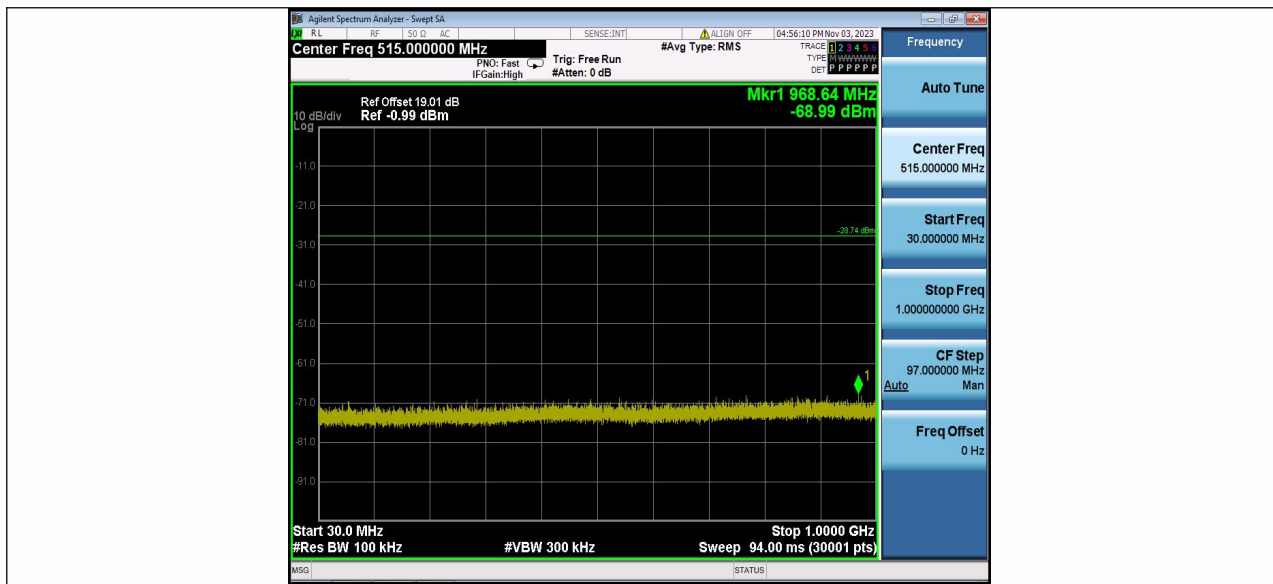
11G Ant1 2412 1000~26500



11G Ant2 2412 0~Reference



11G Ant2 2412 30~1000



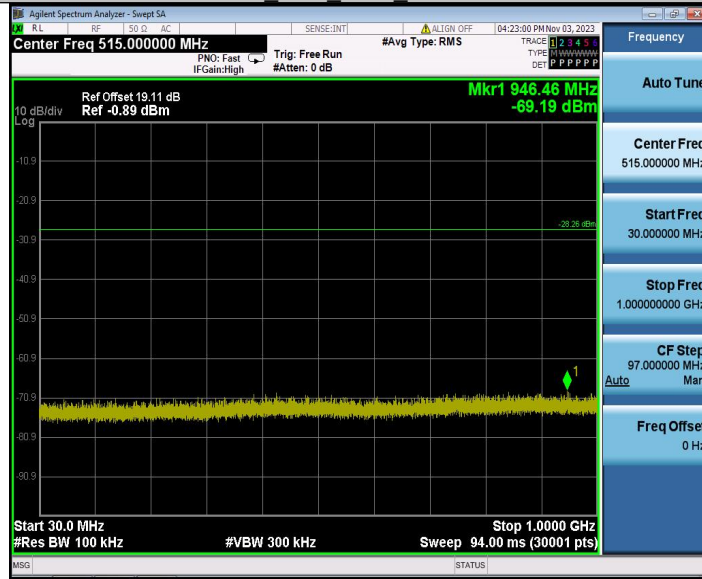
11G Ant2 2412 1000~26500



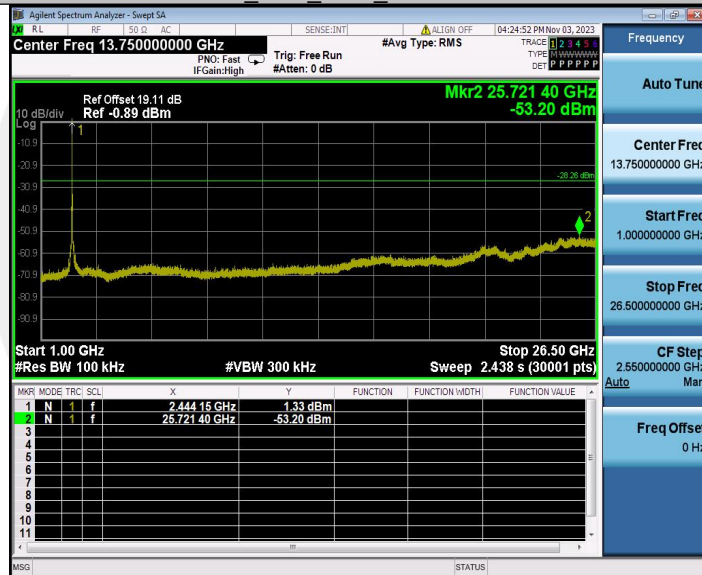
11G Ant1 2437 0~Reference



11G Ant1 2437 30~1000



11G Ant1 2437 1000~26500



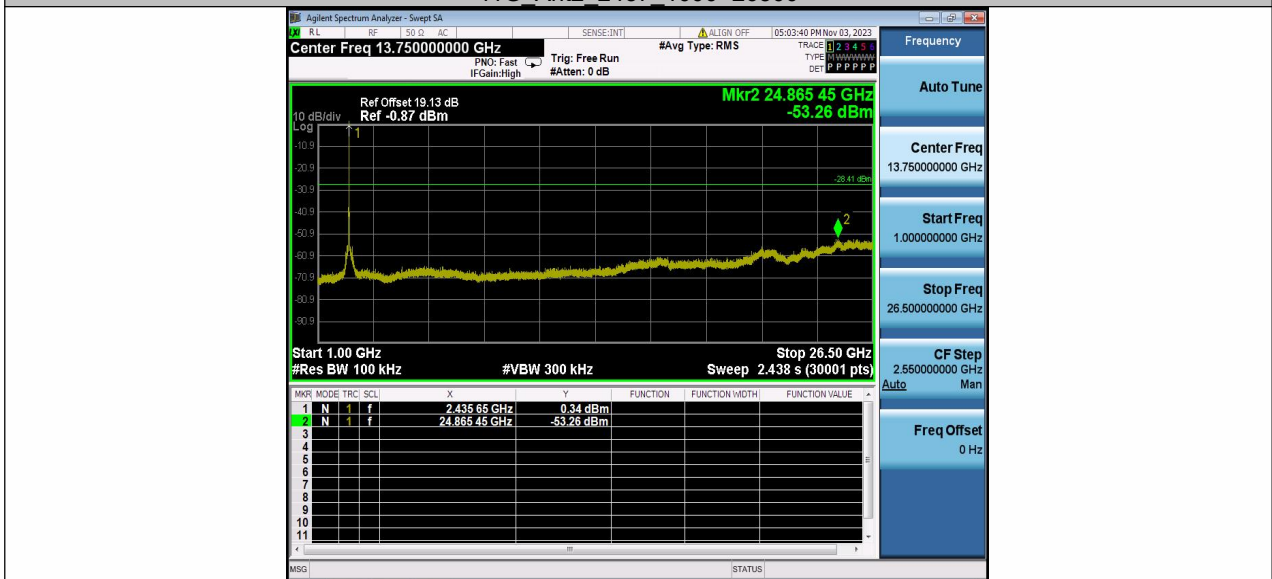
11G Ant2 2437 0~Reference



11G_Ant2_2437_30~1000



11G_Ant2_2437_1000~26500



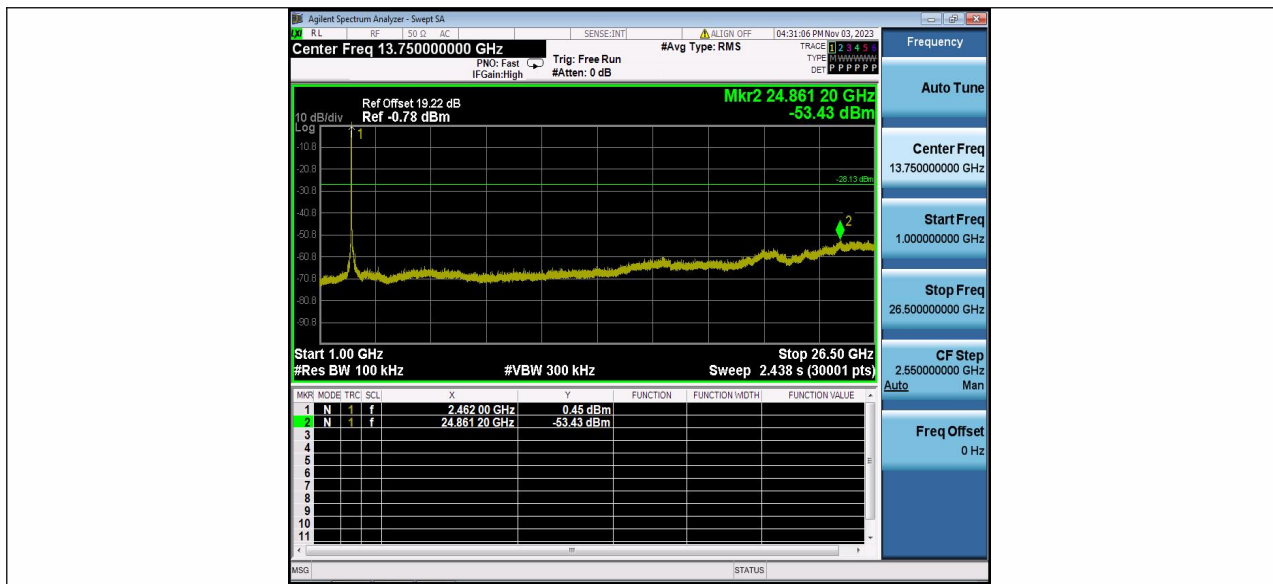
11G Ant1_2462_0~Reference



11G Ant1_2462_30~1000



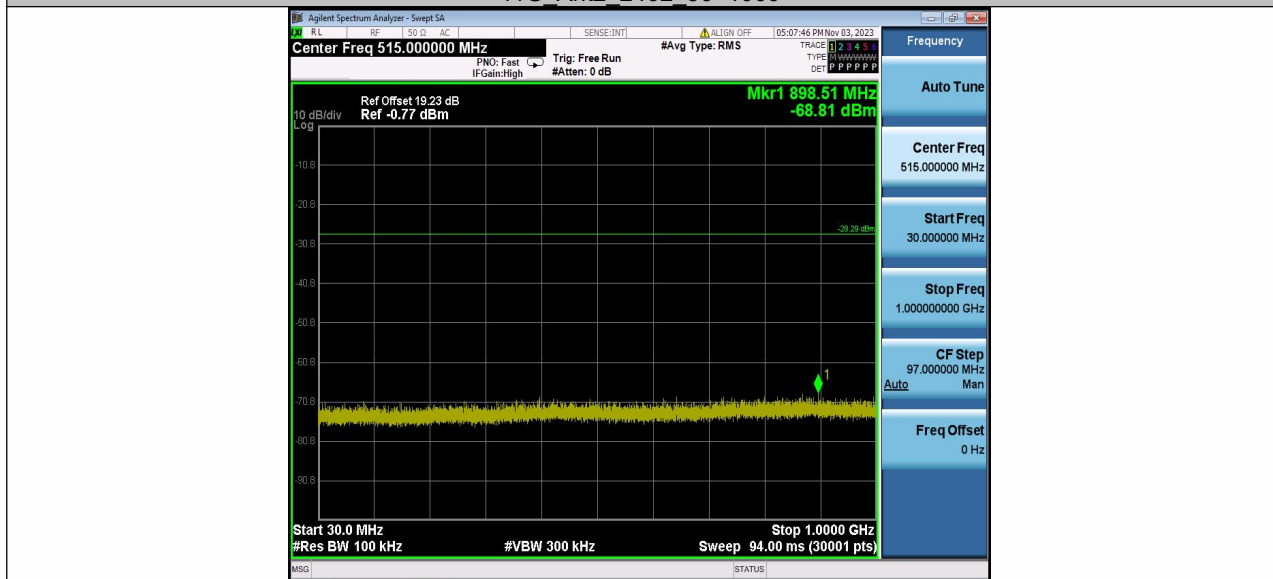
11G Ant1_2462_1000~26500



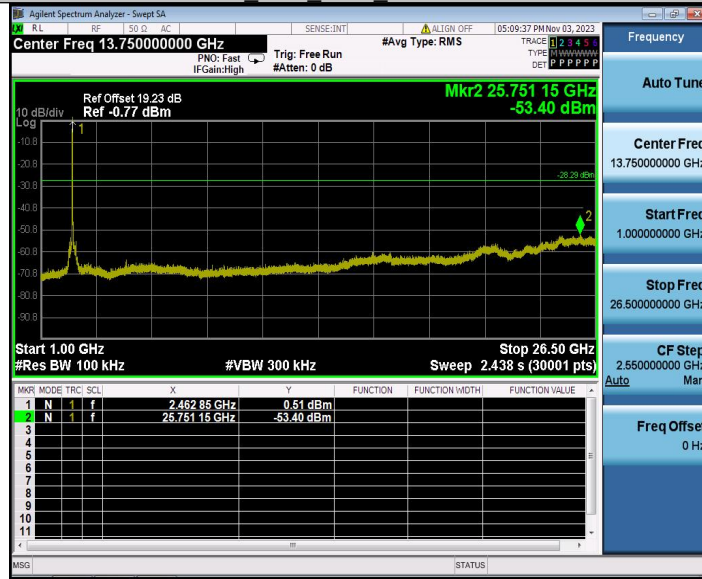
11G_Ant2_2462_0~Reference



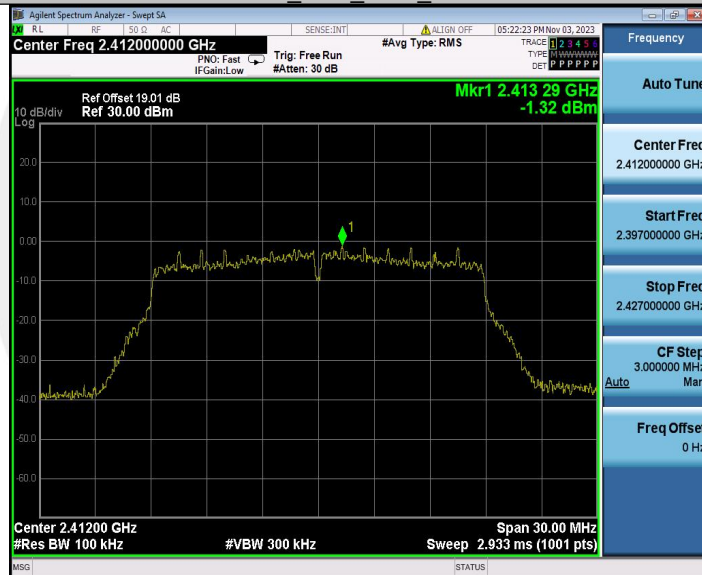
11G_Ant2_2462_30~1000



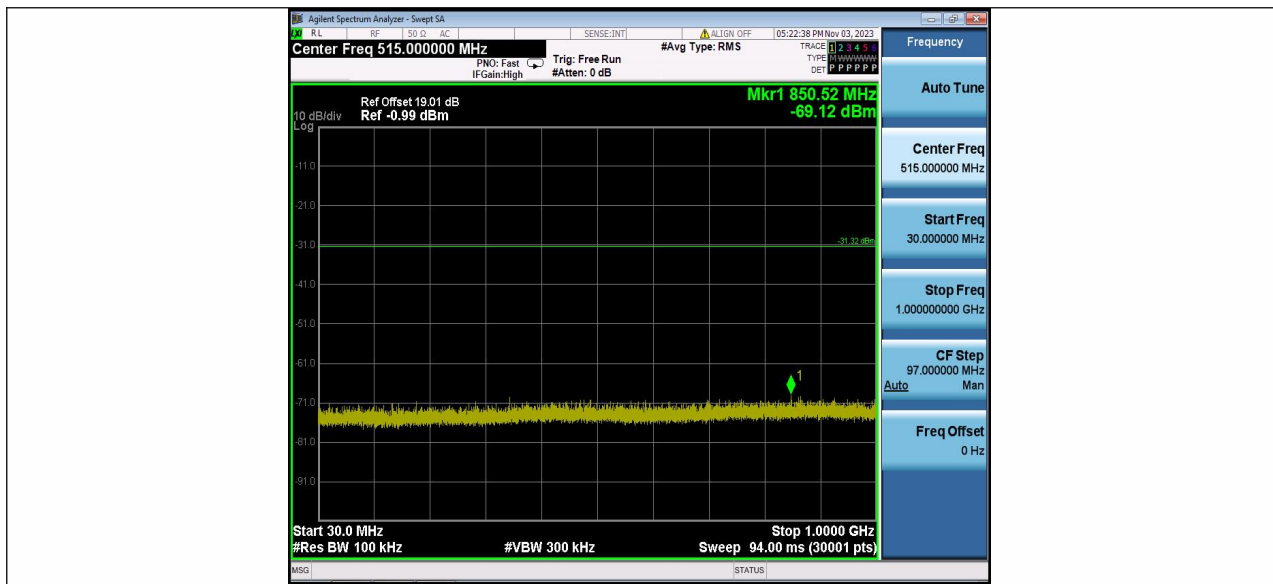
11G Ant2_2462_1000~26500



11N20MIMO_Ant1_2412_0~Reference



11N20MIMO Ant1 2412_30~1000



11N20MIMO_Ant1 2412 1000~26500



11N20MIMO_Ant2 2412 0~Reference

